

3-次元 斜面安定 解析에 관한 研究

金 泳 壽*

A Study on Three-Dimensional Slope Stability Analysis

Yeong-Su Kim

Abstract

Past research has concentrated on refining two-dimensional analysis techniques. Rather extensive comparisons of various two-dimensional methods have been made.

This paper described a general three-dimensional method of analysis by which any geometrical condition and any c , ϕ soil can be analyzed.

The results are as follows;

1. Factors of safety computed for 3-dimensional geometry differ considerably from ordinary 2-dimensional factors of safety.
2. 3-dimensional factors of safety are generally much higher than 2-dimensional factors of safety. However, situations appear to exist where the 3-dimensional factor of safety can be lower than the 2-dimensional factor of safety.
3. The F_3/F_2 ratio appears to be quite sensitive to c , ϕ and to the slope.

1. 序 論

斜面安定 解析에 있어서 과거에는 2-次元解析에 관한 연구에 전념하였고 여러 2-次元方法들에 관한 폭 넓은 비교가 있었다.^{2), 5), 7), 8), 9), 10)} 이 비교에서 2-次元解析이 대체로 정확하다는 것을 보여줌과 동시에 어떤 평형조건이 만족 되어야 한다는 것 즉, Slices의 양측면에 작용하는 힘이 고려되어야 하고 또 Slices의 양측면에 작용하는 힘에 관한 적절한 가정

이 있어야 한다는 것을 보여준다. 어떤 연구에서 Slices의 양측면에 작용하는 힘이 없다고 가정하는 보통의 방법은 더 정확한 방법 등과 비교하여 10% 이하의 차이가 남을 보여준다.⁶⁾ 흙의 異質性, 소수의 土質상세도, Sampling과 Testing에 연관된 더 큰 不確實性에 비교할때 10% 이하의 不一致는 비교적 적은 것이다. 그러나 例外的 경우에 Slices의 보통의 방법이 35% 이상의 不一致로 나타낼 수 있다. Baligh and Azzous²⁾에 의하면 粘着力이 있는 흙에 대하여 End Effects를 고려할 경우에는 安全率에

* 工科大學 土木工學科 專任講師

있어서 4~40%의 증가를 나타낼 수 있음을 보여준다. Lefebvre and Duncan⁴⁾은 End Effects는 양쪽 경사가 3:1이상 되는 비교적 좁은 계곡에 위치한 Dam에 대하여는 아주 중요하다고 제시하였다. 앞에서 나타낸 바와같이 斜面의 파괴가 그 軸을 따라 무한히 펼쳐 일어난다는 2次元(Plane Strain)의 가정과 Slices의 양측에 作用하는 힘에 관한 不適當한 가정에 의한 오차는 매우 크다. 本論文에서는 흙이 Homogeneous하고 간극水壓을 고려하지 않는 경우에 대하여 c and phi가 있는 흙의 斜면에 대하여 3次元 解析으로 검토하였다.

2. 本 研究의 理論的 背景

2-1. 研究의 動向

(1) Sherard의 理論^{1),3),4),11)}

Dam의 길이를 일련의 똑같은 길이의 마디로 나누어서 각 마디의 斷面에 對하여 2次元 문제로 해석하였다. 이런 方法으로 2次元 원호전단파괴 方法을 3次元 斜面 안정문제에까지 확장하였다. (Fig.-1)

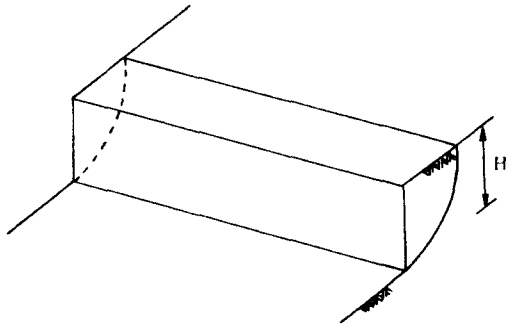


FIG. - 1

(2) Baligh and Azzouz의 理論^{1),3),4),11)}

Fig.-2-a, b와 같이 양끝이 원추모양의 파괴표면(Fig.-2-a)과 타원체의 파괴표면(Fig.-2-b)의 2가지 경우에 對하여 검토하였다.

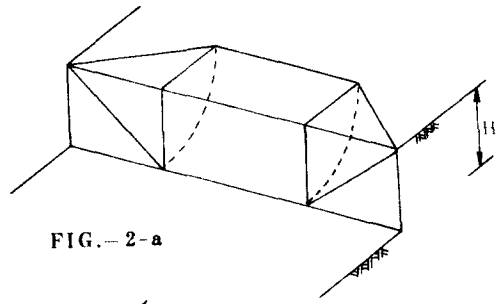


FIG. - 2-a

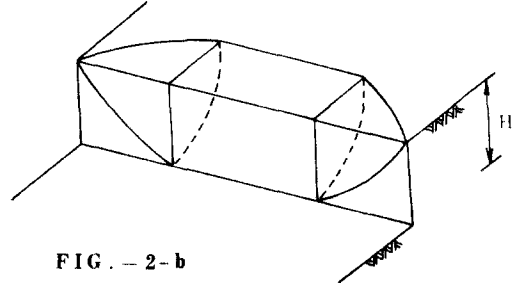


FIG. - 2-b

2-2. 本 研究의 理論

(1) Safety Factor의 정의^{5),8),9)}

$$F = \frac{\tau_f}{\tau_m}$$

τ_f : available shear strength

τ_m : shear strength which must be mobilised to maintain a condition of limiting equilibrium

$$\text{즉, } F = \frac{\Sigma \text{available resistance}}{\Sigma \text{mobilised resistance}}$$

(2) Bishop simplified method

(a) 2-dimensional factor of safety, F2

Fig.-3.에서 보는 바와 같이

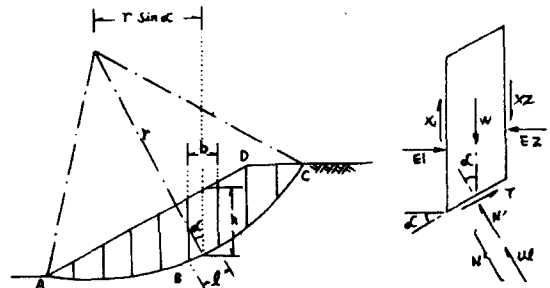


FIG. - 3

$$x_1 - x_2 = 0$$

$$\tau = \frac{1}{F} (c \cdot l + N \tan \phi)$$

$$W_2 = N \cos \mathcal{L} + u \cdot l \cos \mathcal{L} + \frac{c \cdot l}{F} \times \sin \mathcal{L} + \frac{N}{F} \tan \phi \sin \mathcal{L}$$

$$\therefore N = \frac{W_2 - \frac{c \cdot l}{F} \sin \mathcal{L} - u \cdot l \cos \mathcal{L}}{\left(\cos \mathcal{L} + \frac{\tan \phi \sin \mathcal{L}}{F} \right)}$$

$$l = b \sec \mathcal{L}$$

$$\therefore F_2 = \frac{1}{\sum W_2 \sin \mathcal{L}} \sum \{ c \cdot b + (w_2 - u \cdot b) \tan \phi \} \times \left\{ \frac{\sec \mathcal{L}}{1 + \frac{\tan \mathcal{L} \tan \phi}{F}} \right\}$$

(b) 3-dimensional factor of safety, F3

Potential sliding mass 는 Sphere 로 가정 하였다. (Fig. -4-a, b, c)

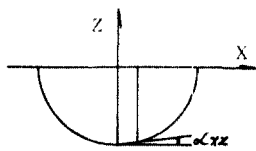
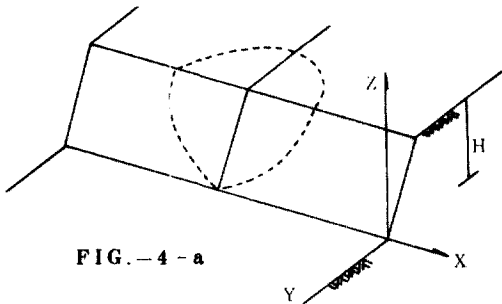


FIG. -4-b

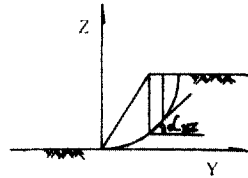


FIG. -4-c

Fig. -5에서

$$\begin{aligned} \cos(\text{Dip}) &= \frac{g}{g'} = \frac{d \sin(\text{STR})}{c'} \\ &= \frac{\left(\frac{c'}{\tan \mathcal{L} \cdot yz} \right) \cdot \sin(\text{STR})}{c'} \\ &= \frac{\sin(\text{Dip}) \cdot \sin(\text{STR})}{\tan \mathcal{L} \cdot yz} \end{aligned}$$

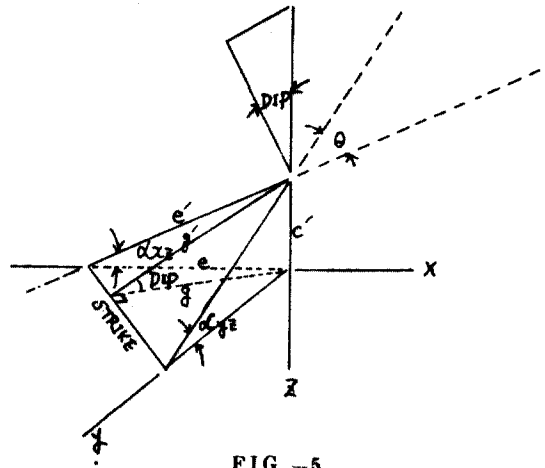


FIG. -5

$$\sec(\text{Dip}) = \frac{\tan \mathcal{L} \cdot yz}{\sin(\text{Dip}) \cdot \sin(\text{STR})}$$

$$\tan(\text{Dip}) = \left\{ \frac{\tan \mathcal{L} \cdot yz}{\sin(\text{Dip}) \cdot \sin(\text{STR})} \right\}^2 - 1$$

$$W_3 = r \cdot z \cdot \Delta x \cdot \Delta y$$

$$F_3 = \frac{1}{\sum_x \sum_y W_3 \sin \mathcal{L} \cdot yz} \times$$

$$\sum_x \sum_y \{ c \cdot A_3 + (W_3 - u A_3) \tan \phi \}$$

$$\times \left[\frac{\frac{\tan \mathcal{L} \cdot yz}{\sin(\text{Dip}) \cdot \sin(\text{STR})}}{1 + \frac{\left(\left(\frac{\tan \mathcal{L} \cdot yz}{\sin(\text{Dip}) \cdot \sin(\text{STR})} \right)^2 - 1 \right) \cdot \tan \phi}{F}} \right]$$

(4) 본 연구의 3-次元 斜面安定 解析

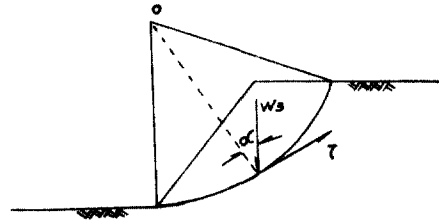


FIG. -6

Fig. -6과 같이 Potential sliding mass 에 일어나는 힘을 하나로 모아 검토하였다.

$$F_3 = \frac{1}{\Sigma W_3 \sin \mathcal{L}} \Sigma (c \cdot \Lambda_3 + W_3 \tan \phi) \left[\frac{\sec \alpha}{1 + \frac{\tan \mathcal{L} \tan \phi}{F}} \right]$$

3. 解析 方法

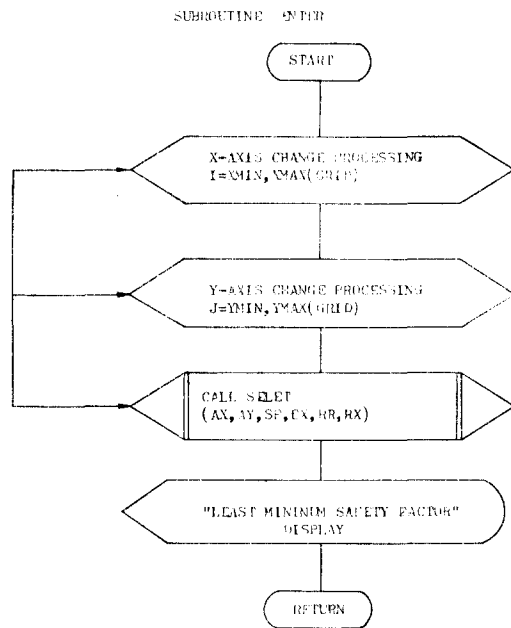
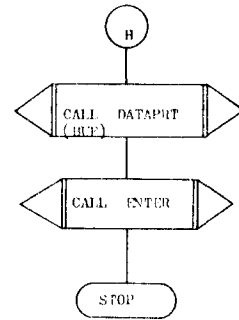
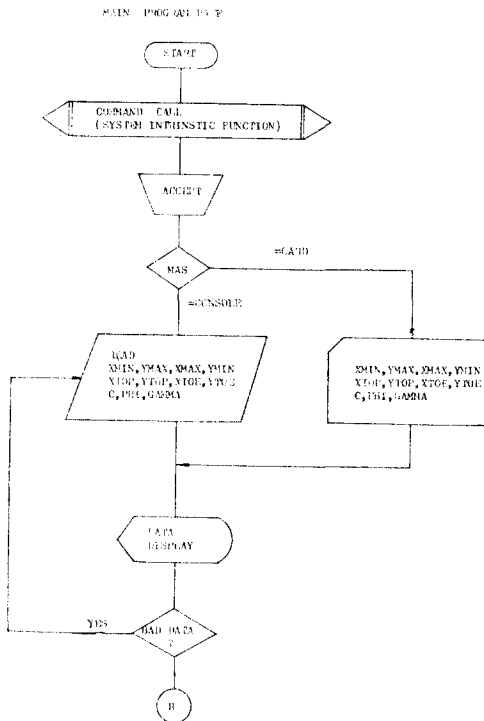
(1) 3次元 斜面安定 解析에서는 Potential sliding mass 는 Sphère 로 가정하고 흙은 Homogeneous 하고 地下水는 고려하지 않고 Bishop simplified method 로 검토하였다.

(2) Slope 는 2:1과 3:1의 두가지 경우로 나누어 검토하였다.

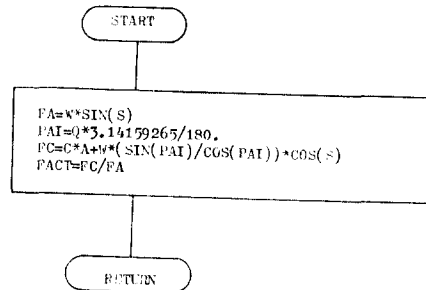
(3) C와 ϕ 는 $c=5.5, 4.4, 3.3, 2.2, 1.1(t/m^2)$ 의 각각의 경우에 對하여 $\phi=0^\circ, 10^\circ, 20^\circ, 30^\circ, 40^\circ$ 로 나누어 검토하였다.

(4) Slices 로 나누지 않고 한 덩어리로 생각 하였다.

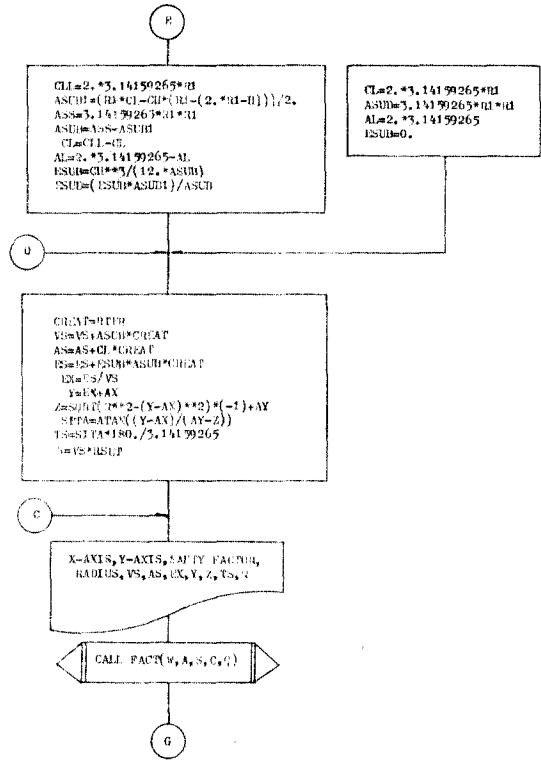
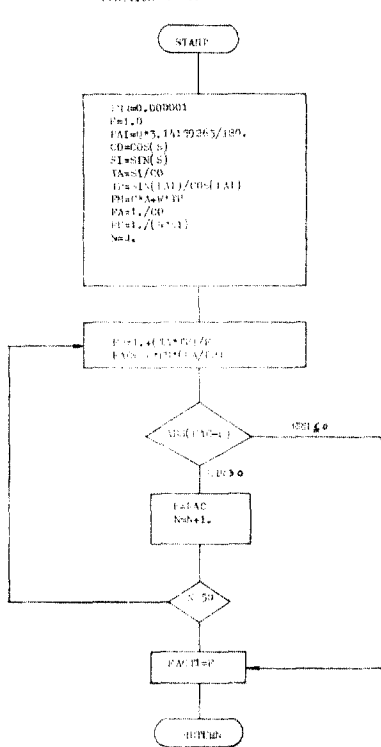
(5) 本 論文에 使用된 Computer Program 의 Flow Chart 는 다음과 같다.



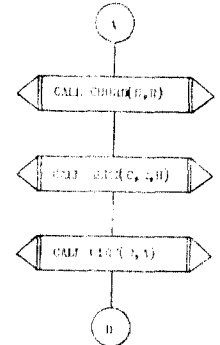
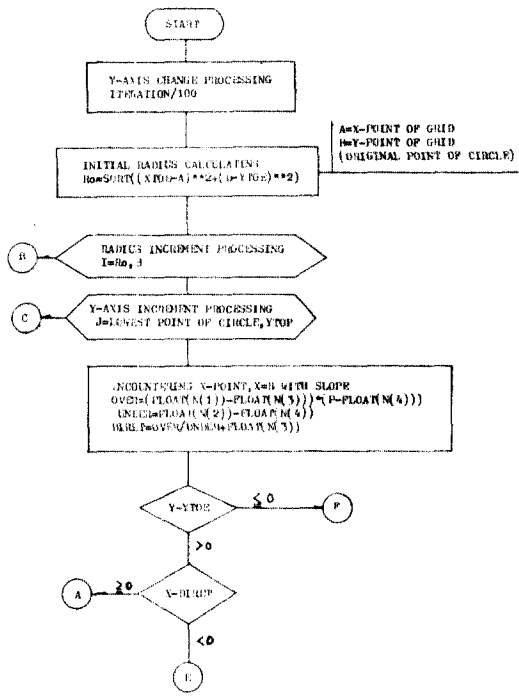
FUNCTION FACT



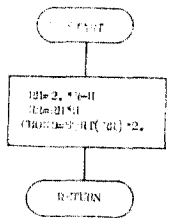
FUNCTION CHORD

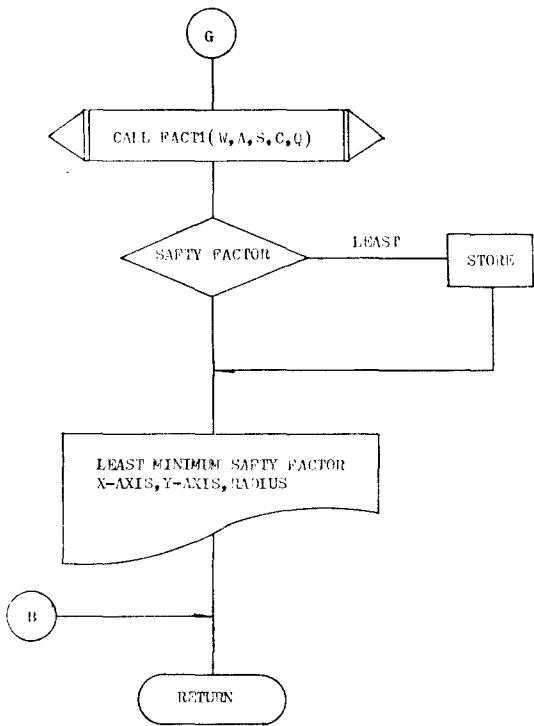


SUBROUTINE SIGHT

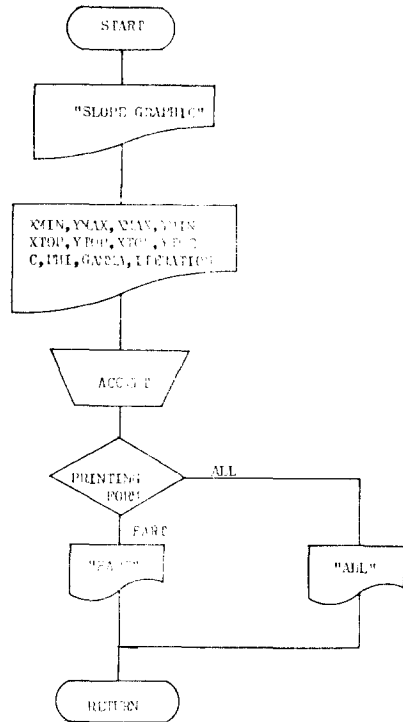


FUNCTION CHORD

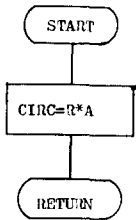




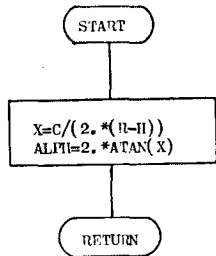
SUBROUTINE GRAPHIC



FUNCTION CIRC

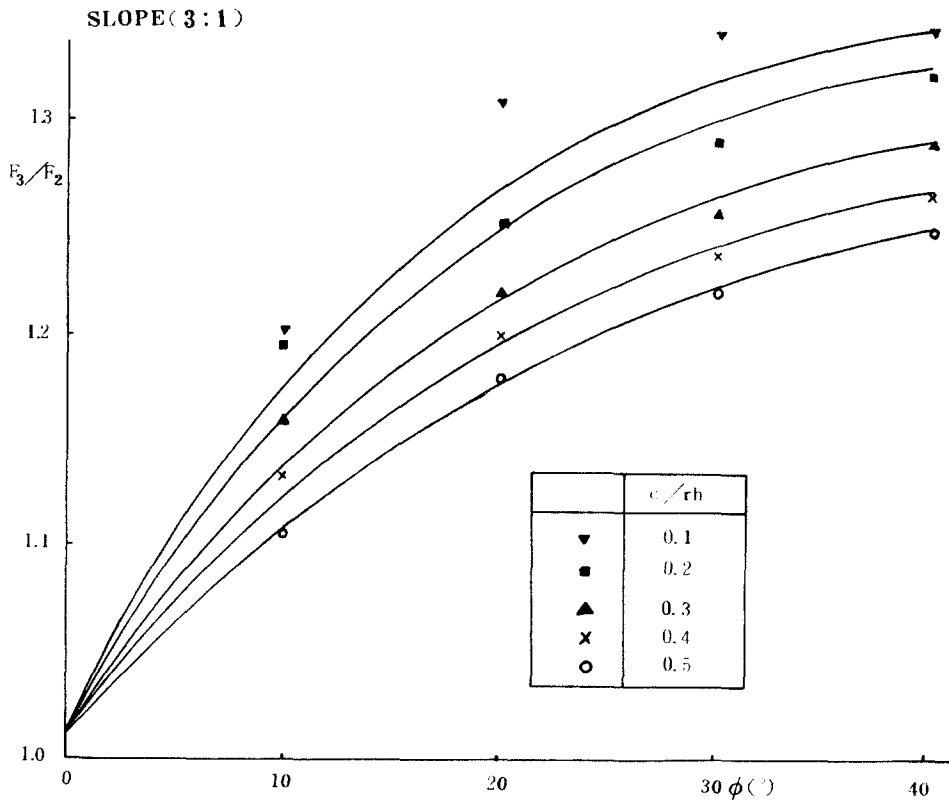
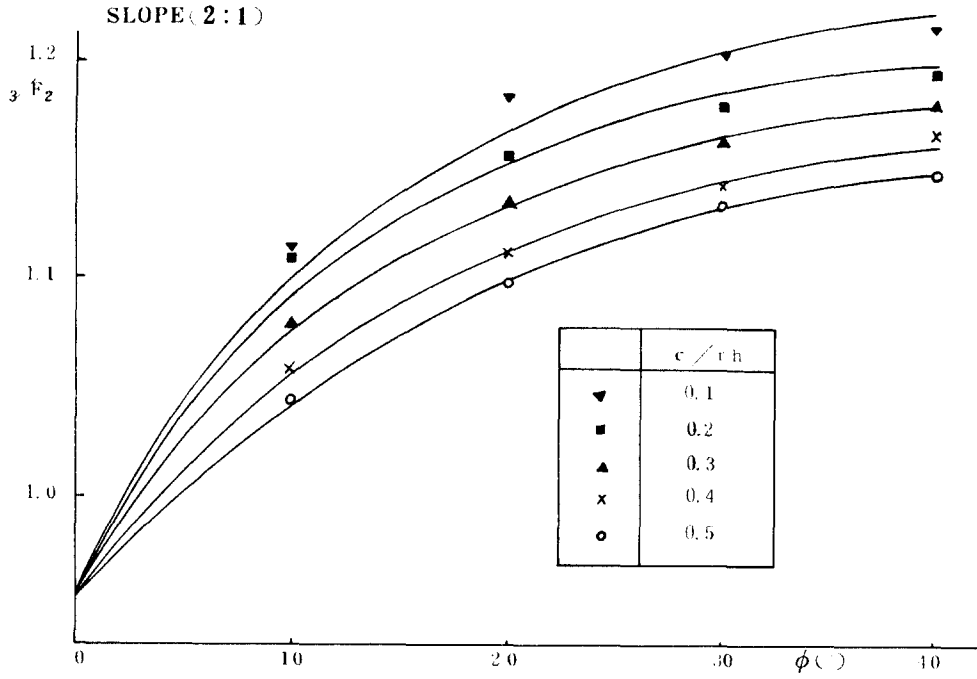


FUNCTION ALPH



4. 結果 分析

SLOPE(2 : 1)					SLOPE(3 : 1)				
C(t/m')	ϕ (°)	F ₂	F ₃	F ₃ /F ₂	C(t/m')	ϕ (°)	F ₂	F ₃	F ₃ /F ₂
5·5	0	1.227	1.216	0.952	5·5	0	1.184	1.366	1.01
	10	1.528	1.592	1.043		10	1.392	1.958	1.113
	20	1.767	1.932	1.093		20	1.590	2.359	1.174
	30	2.023	2.279	1.127		30	1.805	2.733	1.213
	49	2.321	2.644	1.139		40	2.052	3.166	1.241
4·4	0	1.022	0.973	0.952	4·4	0	0.947	1.093	1.01
	10	1.269	1.341	1.057		10	1.152	1.64	1.131
	20	1.505	1.668	1.108		20	1.345	2.081	1.195
	30	1.755	1.996	1.137		30	1.553	2.441	1.232
	40	2.038	2.363	1.159		40	1.790	2.859	1.258
3·3	0	0.766	0.729	0.952	3·3	0	0.710	0.819	1.01
	10	1.008	1.086	1.077		10	0.909	1.361	1.157
	20	1.235	1.394	1.129		20	1.101	1.658	1.215
	30	1.472	1.701	1.156		30	1.297	2.098	1.251
	40	1.743	2.042	1.172		40	1.520	2.484	1.282
2·2	0	0.511	0.486	0.951	2·2	0	0.637	0.644	1.01
	10	0.746	0.825	1.106		10	0.667	1.034	1.192
	20	0.959	1.105	1.152		20	0.846	1.38	1.248
	30	1.180	1.383	1.172		30	1.028	1.67	1.285
	40	1.428	1.693	1.186		40	1.232	2.004	1.314
1·1	0	0.391	0.372	0.951	1·1	0	0.555	0.562	1.012
	10	0.496	0.546	1.10		10	0.624	0.749	1.2
	20	0.663	0.782	1.179		20	0.574	0.961	1.303
	30	0.853	1.021	1.197		30	0.729	1.194	1.335
	40	1.068	1.288	1.206		40	0.914	1.373	1.335



5. 結 論

1) 3次元 解析으로 求한 Safety Factor, F_3 와 2次元 解析으로 求한 Safety Factor, F_2 는 다르다.

2) 3次元 解析으로 求한 Safety Factor, F_3 가 2次元 觀析으로 求한 Safety Factor, F_2 보다 대체로 크다. 그러나 경우에 따라서는 더 작게 나타낸다.

3) F_3/F_2 의 비는 c , ϕ 값과 Slope 에 따라 아주 민감하게 나타내고 있다.

Reference

1. Boligh, M. M., and Azzouz, A. S. "Ene Effects on Stability of Cohesive Slopes." Journal of the Geotechnical Engineering Division, ASCE, Vol. 101, No. GT11, Proc. Paper 11705, Nov., 1975, pp. 1105-1117.
2. Bishop, A. w., "The Use of the Slip Circle in the Stability Analysis of Slope." Geotechnique, London, England, Vol. 5, No. 1, Mar., 1955, pp. 7-17.
3. John, K. W., "Graphical Stability Analysis of Slopes in Jointed Rock." Journal of the Soil Mechanics and Foundations Division, ASCE, Vol. 94, No. SM2, Proc. Paper 5865, Mar., 1968, pp. 497-526.
4. Lefebvre, G., and Duncan, J. M., "Three-Dimensional Finite Element Analysis of Dams," Journal of the Soil Mechanics and Foundations Division, ASCE, Vol. 99, No. SM7, Proc. Paper 9857, July, 1973, pp. 495-507.
5. Resendiz, D., discussion of "Accuracy of Equilibrium Slope Stability Analysis," by S. G. Wright, F. H. Kulhawy, and J. M. Duncan, Journal of the Soil Mechanics and Foundations Division, ASCE, Vol. 99, No. SM10, Proc. Paper 10097, Oct., 1973, pp. 783-791.
6. P. Anagnosti, Dr. Sc., "Three-Dimensional Stability of Fill Dams."
7. D'Appolonia, D. J., Lambe, T. W., and Poulos, H., "Evaluation of Pore Pressures Beneath an Embankment." Journal of the Soil Mechanics and Foundations Division, ASCE, Vol. 97, No. SM6, Proc. Paper 8213, June, 1971, pp. 881-987.
8. Lowe, J., III, "Stability Analysis of Embankments." Proc. of the Conference on the Stability of Slope and Embankments, ASCE, 1966, pp. 1-34.
9. Seed, H. B. and Sultan, H. A., "Stability Analysis for Sloping Core Embankments." Proc. of the Conference on the Stability of Slope and Embankments, ASCE, 1966, pp. 75-90.
10. Whitman, R. V., and Bailey, W. A., "Use of Computers for Slope Stability Analysis." Proc. of the Conference on the Stability of Slopes and Embankments, ASCE 1966, pp. 519-542.
11. H. John Hovland, "Three-Dimensional Slope Stability Analysis Method," Journal of the Geotechnical Engineering Division, ASCE, Vol. 103, No. GT9 September, 1977, pp. 971-986.